

## دگرگونی رخساره گرانولیت در مرمرهای دولومیتی الیوین دار تکاب، شمال غرب ایران

\* رباب حاجی‌علی‌اوغلی\*

گروه زمین‌شناسی، دانشکده علوم طبیعی، دانشگاه تبریز، آذربایجان شرقی، ایران

### چکیده

کمپلکس دگرگونی تکاب در شمال غرب ایران در عرض جغرافیایی  $30^{\circ} 37' 36''$  شمالی و طول جغرافیایی  $45' 47'' 47''$  شرقی واقع شده است. کمپلکس تکاب به سن نئوپروتوروزئیک-کامبرین دارای ویژگی‌های تکتونیکی، چینه‌شناسی، سنگ‌شناسی و ژئوكرونولوژی مشابه با زون ایران مرکزی است که بر این اساس، بخشی از زون ایران مرکزی با سنی مشابه نئوپروتوروزئیک-کامبرین در نظر گرفته می‌شود. انواع سنگ‌های دگرگونی در کمپلکس تکاب، شامل: گنیس، گرانولیت‌های کالک‌سیلیکات، گرانولیت‌های مافیک، میگماتیت، آمفیبولیت، مرمرهای دولومیتی، شیستهای رسی، شیستهای بازیک و سنگ‌های متاپریدوتیت سرپانتینی شده است. مرمرهای الیوین دار حاصل دگرگونی مرمرهای دولومیتی در شرایط رخساره گرانولیت هستند. شرایط حرارت و فشار در مرحله اوج دگرگونی بر اساس ظهور الیوین در پاراژنر مرمرهای الیوین دار تکاب  $T \geq 800^{\circ}\text{C}$  در فشار حدود ۸ کیلوبار تخمین زده می‌شود. تشکیل مجموعه کانی‌های ترمولیت ثانویه دولومیت حاصل از ناپایداری از شواهد رخداد دگرگونی پس‌روندۀ در مرمرهای دولومیتی الیوین دار کمپلکس دگرگونی تکاب است. انتشار سیالات غنی از  $\text{O}_2\text{H}_2$  باعث ظهور کانی‌های آبدار مانند ترمولیت ثانویه، زوئیزیت و کلینوکلر و همچنین، تشکیل تیتانیت در پاراژنر مرمرها در طی فرایندهای دگرگونی پس‌روندۀ شده است.

**واژه‌های کلیدی:** الیوین، رخساره گرانولیت، شمال غرب ایران، کمپلکس دگرگونی تکاب، مرمرهای دولومیتی

### مقدمه

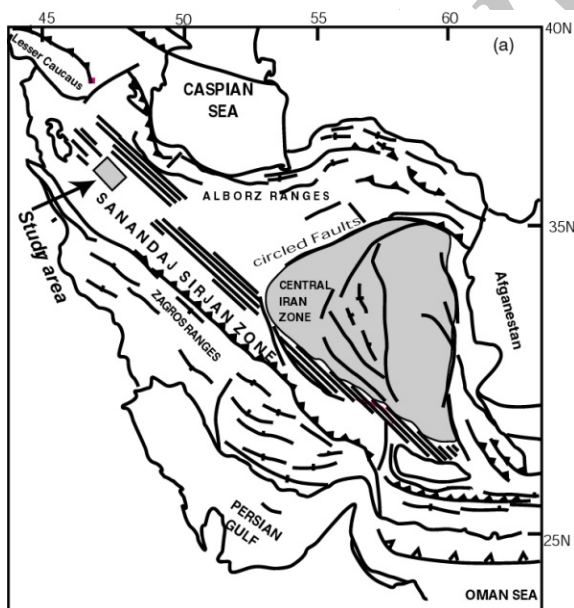
می‌شوند. کلسیت به جز در فشارهای خیلی زیاد که به آراغونیت تبدیل می‌شود، در سایر شرایط پایدار است و حتی آراغونیتی که در هنگام مدفون شدگی کلسیت تشکیل می‌شود در اکثر موارد در هنگام بالا آمدگی دوباره به طور کامل به کلسیت تبدیل می‌شود. علی‌رغم نبود واکنش‌های کانی‌شناسی مهم در مرمرها، این

مرمرها سنگ‌های آهکی دگرگون شده‌ای هستند که تقریباً به طور اصلی از کانی‌های کربناته تشکیل شده‌اند و مقادیر کانی‌های دیگر در آن‌ها فرعی است. مرمرها بر اساس حضور کلسیت و دولومیت در دو گروه مهم مرمرهای کلسیتی و مرمرهای دولومیتی طبقه‌بندی

کمپلکس تکاب از لحاظ سنگشناسی، از انواع سنگ‌های دگرگونی شامل متاپلیت، متاتانزیت و آهک‌های دگرگون در رخساره‌های دگرگونی شیست سبز تا گرانولیت تشکیل شده است. در این مطالعه، کانی‌شناسی و پتروگرافی انواع مرمرهای دولومیتی تکاب مطالعه شده و ترکیب شیمی کانی‌های همراه در مرمرهای گرانولیتی شامل الیوین، کلسیت و دولومیت مشخص شده است.

#### زمین‌شناسی منطقه

کمپلکس دگرگونی تکاب در شمال غرب ایران در عرض جغرافیایی  $30^{\circ} 37^{\prime}$  و  $36^{\circ} 30^{\prime}$  شمالی و طول جغرافیایی  $45^{\circ} 47^{\prime}$  و  $5^{\circ} 47^{\prime}$  شرقی واقع شده است. این منطقه از لحاظ تقسیم‌بندی ساختاری در زون سنندج-سیرجان (Alavi, 2004; Gilg *et al.*, 2006) واقع شده است (شکل ۱). همچنین، بر اساس نبوی (۱۳۵۵) منطقه تکاب بخشی از زون ایران مرکزی است.



شکل ۱- موقعیت منطقه مورد مطالعه در تقسیم‌بندی ساختاری (Gilg *et al.*, 2006)

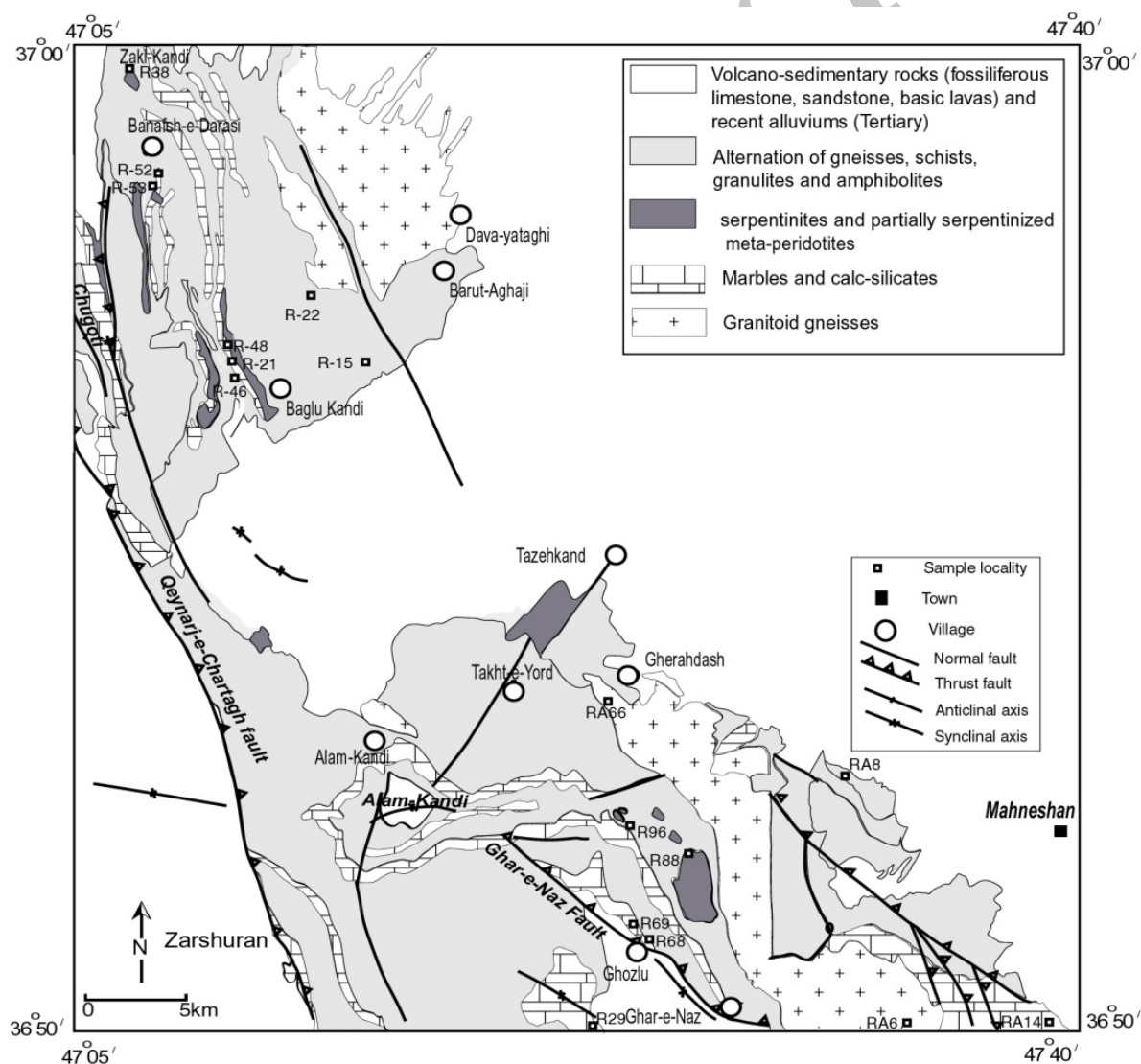
سنگ‌ها به علت تبلور دوباره کلسیت/دولومیت و درشت‌تر شدن دانه‌های آن اغلب تغییرات شدید بافتی نشان می‌دهند.

مرمرهای حاوی دولومیت، شاخص‌های مفیدی برای درجه دگرگونی هستند. زیرا در آن‌ها مجموعه‌ای از سیلیکات‌های کلسیم-منزیوم مانند ترمولیت، کلینوپیروکسن و الیوین در شرایط فشار و حرارت معمول در دگرگونی تشکیل می‌شود. شرایط دقیق رشد کلینوپیروکسن و الیوین بستگی به ترکیب سنگ دارد، علی‌رغم اینکه در مطالعات قدیمی ظهور الیوین مقدم بر دیوپسید در نظر گرفته می‌شد. بنابراین، درجه حرارت ظهور کلینوپیروکسن و الیوین بسیار نزدیک به هم بوده، تغییرات اتفاقی در لیتولوزی می‌تواند تعیین کننده Yardley (۱۹۸۹)، همراهی و همزیستی کانی کلینوپیروکسن و الیوین با یکدیگر نسبت به حضور منفرد هر یک از آن‌ها به درجه حرارت بیشتری نیاز دارد.

کمپلکس دگرگونی تکاب در شمال غرب ایران به سن نئوپروتزوژنیک-کامبرین دارای ویژگی‌های تکتونیکی، چینه‌شناسی، سنگ‌شناسی و ژئکرونولوزی مشابه با زون ایران مرکزی دارد که بر این اساس، بخشی از زون (Hajjalioghli *et al.*, 2007) نیز در نظر گرفته می‌شود. ناپیوستگی بین سنگ‌های دگرگونی نئوپروتزوژنیک-کامبرین پیشین با سنگ‌های کامبرین بالایی و حضور رخساره‌های رسوبی با ضخامت‌های بالایی از مرمرهای دولومیتی میان لایه با سنگ‌های آتشفسانی و آذر-آواری متعلق به محیط‌های توربیدایتی و آبهای عمیق، به عنوان شواهدی از سیستم قوس-گودال در طول حاشیه اقیانوس پروتوتیس در شمال غرب ایران است (Hajjalioghli *et al.*, 2007).

2008). سنگ‌های آتشفسانی اوسن و رسوبات رودخانه‌ای عهد حاضر به طور ناپیوسته کمپلکس دگرگونی را پوشانیده است. کمپلکس دگرگونی تکاب از انواع سنگ‌های دگرگونی با ترکیب شیسته‌های بازیک، شیسته‌های رسی، آمفیبولیت، گنسیس، میگماتیت، گرانولیت‌های مافیک، گرانولیت‌های کالک‌سیلیکات، مرمرها، متاپریدوتیت‌ها و توده‌های گرانیتوئیدی پراکنده تشکیل شده است (Moazzen *et al.*, 2009). موقعیت سنگ‌های نمونه‌برداری شده در شکل ۲ نشان داده شده است.

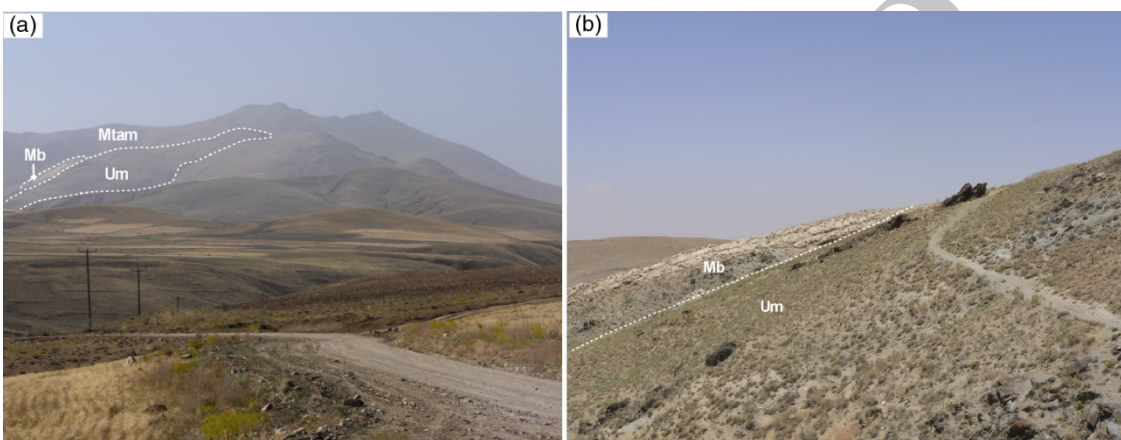
سن پروتولیت کمپلکس دگرگونی در مجموعه تکاب بر اساس شواهد استراتیگرافی، پترولوزیک و فسیل‌شناسی در نقشه زمین‌شناسی ۱/۱۰۰۰۰۰ ۱۳۷۱ به پرکامبرین و سلیمان (باباخانی و قلمقاش، ۱۳۷۱) به اساس سن سنجی U/Pb زیرکن و داده‌های سنی  $^{207}\text{Pb}/^{206}\text{Pb}$  (تصحیح شده نسبت به  $^{204}\text{Pb}$ ) در زیرکن‌های به ارث رسیده در ملانوسوم میگماتیت‌های مافیک، سن قدیمی‌ترین سنگ‌ها در پوسته قاره‌ای تکاب در حدود ۲۸۰۰ میلیون سال به دست آمده است (Moazzen and Hajialioghli, 2009).



شکل ۲- نقشه زمین‌شناسی کمپلکس دگرگونی تکاب و موقعیت نمونه‌برداری نمونه‌ها در آن (اقتباس از باباخانی و قلمقاش، ۱۳۷۱).

کانی‌های کلسیت/دولومیت و ناخالصی‌های Al و Si در کانی‌ها در دو گروه مرمرها و کالکسیلیکات‌ها طبقه‌بندی شده‌اند. در نمونه‌ها دستی، مرمرها دارای بافت متبلور و رنگ روشن هستند. کالکسیلیکات‌ها دارای ناخالصی‌هایی از Si و Al بوده که با افزایش ناخالصی رنگ آن‌ها از زرد روشن، زرد قهوه‌ای به خاکستری و خاکستری تیره تغییر می‌یابد.

برونزد سنگ‌های دگرگونی آهکی به صورت میان لایه با سنگ‌های متاپریدوتیت، گرانولیت و آمفیبولیت مشاهده می‌شود (شکل ۳). بر اساس پژوهش‌های حمدی (۱۳۷۴)، برخی از مرمرها دارای فسیل‌هایی از *Latouchella sp.*, *Bemella sp.* کامبرین فوقانی، مانند: سنگ‌های *Halkiera stenobasis* و دگرگون شده در منطقه مورد مطالعه بر اساس حضور



شکل ۳ (a) برونزد سنگ‌های آهکی دگرگون شده به صورت میان لایه در داخل سنگ‌های متاپریدوتیت و متابازیت، (b) برونزد سنگ‌های آهکی دگرگون شده (مرمر= Mb و الترامافیک= Um و آمفیبولیت= Mtam)

گرانیتوئیدی با ترکیب متاآلومینوس به صورت پراکنده در داخل میگماتیت‌های مافیک و دگرگونی‌های متابازیک منطقه نفوذ کرده است (Hajjalioghli *et al.*, 2011). کاهش دما و فشار بر سنگ‌های دگرگونی منطقه تاثیر کرده و باعث ظهور مجموعه کانی‌های دما پایین در شرایط دگرگونی پس‌رونده شده است.

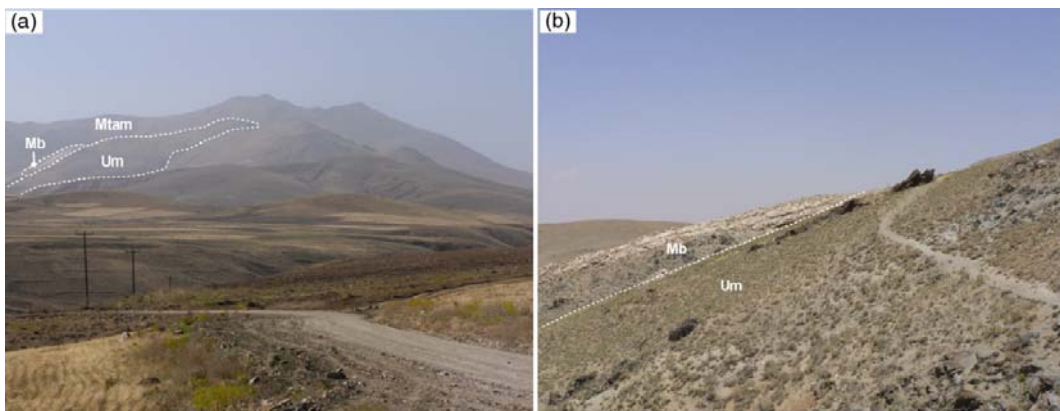
سنگ‌های گرانولیت به صورت پس‌رونده در رخساره آمفیبولیت دگرگون شده‌اند. برخی از شواهد بافتی و کانی‌شناسی دگرگونی پس‌رونده در گرانولیت‌های متابازیک تکاب عبارتند از: (a) حضور روتیل به صورت میانبار در گارنت؛ (b) سیمپلکتیت هورنبلنده + پلاژیوکلاز در اطراف گارنت حاصل از شکست پورفیروبلاست‌های پیشین (کانی‌های پیروکسن) (برای

وخساره گرانولیت، بالاترین درجه دگرگونی در کمپلکس تکاب است که باعث تشکیل گرانولیت‌های متابازیک و گرانولیت‌های کالکسیلیکات شده است (Moazzen *et al.*, 2009). سنگ‌های متابازیک در درجه دگرگونی‌های بالا ذوب شده و میگماتیت‌های مافیک در این ارتباط تشکیل شده‌اند (Hajjalioghli *et al.*, 2011). ذوب‌بخشی سنگ‌ها در ارتباط با رخداد فازهای کوه‌زایی آپی در ترشیاری اتفاق افتاده است (Hajjalioghli *et al.*, 2007).

روابط بافتی، نتایج شیمی کل سنگ و محاسبات تعادل جرمی (mass balance)، تشکیل میگماتیت‌های مافیک از ذوب‌بخشی سنگ‌های متابازیک را تایید می‌کنند ( حاجی‌علی‌اوجلی، ۱۳۸۶). توده‌های

کلینوپیروکسن بقایای کانی های اوج دگرگونی هستند (Moazzzen *et al.*, 2009). مرمرهای دولومیتی الیوین دار تکاب حاصل دگرگونی در رخساره گرانولیت هستند که تحت شرایط دگرگونی پسروندہ به ترمولیت ( $\pm$  کلینوکلر) مرمر دگرگون شده‌اند.

مثال مطالعات سیمپلکتیت اسپینل و آمفیبول در اطراف پورفیروبلاست‌های گارنت (برای مثال مطالعات: Nakano *et al.*, 2004; O'Brien and Rotzler, 2003; O'Brien *et al.*, 2005). در گرانولیت‌های کالکسیلیکات کانی های اسکاپولیت، گارنت و



شکل ۳- (a) برونزد سنگ‌های آهکی دگرگون شده به صورت میان لایه در داخل سنگ‌های متاپیدوتیت و متابازیت، (b) برونزد سنگ‌های آهکی دگرگون شده (مرمر= Mb و الترامافیک = Um و آمفیبولیت = Mtam)

گروه اصلی مرمرها و سنگ‌های کالکسیلیکات طبقه‌بندی شده‌اند. سنگ‌های کالکسیلیکات علاوه بر کلسیت دارای مقادیر قابل ملاحظه‌ای از کانی های آلومینیوسیلیکات شامل گارنت، اسکاپولیت، کلینوپیروکسن، پلاژیوکلاز، آمفیبول، اپیدوت و زوئیزیت هستند. سنگ‌های اسکاپولیت-کلینوپیروکسن-گارنت هستند. سنگ‌های دگرگونی‌های بالا در رخساره کالکسیلیکات در درجه دگرگونی‌های بالا در رخساره گرانولیت دگرگون شده‌اند (شکل ۴) (Moazzzen *et al.*, 2009). رخداد فرایندهای دگرگونی پسروندہ باعث از بین رفتن کانی های دگرگونی اوج مانند کلینوپیروکسن و اسکاپولیت و تشکیل مجموعه کانی های دما پایین در این سنگ‌ها شده است (Moazzzen *et al.*, 2009). کلسیت/دولومیت کانی اصلی تشکیل دهنده مرمرها در منطقه مورد مطالعه است. بافت‌های گرانوبلاستیک و گرانوبلاستیک موزائیکی

### روش انجام پژوهش

کانی های اوج دگرگونی، شامل: الیوین، دولومیت و کلسیت در نمونه‌های معرف از مرمرهای دولومیتی الیوین دار که روابط بافتی و کانی‌شناسی آن قبلًا با مطالعات پتروگرافی مشخص شده بود، توسط میکروپرور CAMECA SX100 در دانشگاه منچستر انگلستان با ولتاژ  $15\text{ kV}$  و شدت جریان  $10\text{--}20\text{ nA}$  تجزیه شد. مقادیر آهن در ترکیب الیوین،  $\text{Fe}^{2+}$  فرض شده است. علایم اختصاری کانی ها از Kretz (۱۹۸۳) است.

### پتروگرافی سنگ‌های آهکی دگرگون شده

سنگ‌های آهکی دگرگون شده در منطقه تکاب بر اساس فراوانی مودال کانی های کلسیت/دولومیت و کانی های سیلیکاتی با ناخالصی هایی از Al و Si در دو

حضور دارند. زیرکن و آپاتیت کانی‌های کمیاب هستند.  
جدول ۱ مجموعه کانی‌ها در مرمرهای منطقه تکاب را  
نشان می‌دهد.

(triple) با نقطه اتصال سه تایی (equigranoblastic)  
point junction) از انواع بافت‌های معمول در اغلب  
مرمرهای است. الیوین، اپیدوت، پلازیوکلاز، زوئیزیت،  
ترمولیت و تیتانیت در مقادیر فرعی در این سنگ‌ها

جدول ۱- مجموعه کانی‌های دگرگونی در مرمرهای تکاب. علایم اختصاری کانی‌ها از Kretz (۱۹۸۳) است (X: کانی اصلی، O: کانی فرعی، A: کانی دگرسان شده).

Sample No.	Rock type	Cal/Dol	Prg	Qtz	Cpx	Ol	Chl	Ep	Zo	Ms/Phl	Ttn	Act/Tr	Pl	Zrn	Opa
R53	Tr-Ep marble	X		O				O	O	O	O	O	O	O	O
R22	Phl-Tr-Ep marble	X	O	O				O	O	O	O	O	O	O	O
RA14-b	Tr-Ep marble	X	A	O				O	O	O	O	O	O	O	O
RA15-c	Tr-Ep marble	X		O				O	O	O	O	O	O	O	O
RA6-c	Tr marble	X		O							O	O			
RA8-d	Phl-Tr-Ep marble	X						O	O		O				
R46	Phl-Tr-Ep marble	X		O				O	X	O	O	O	O	O	O
RA6-a	Phl-Tr-Ep marble	X		O				O	O	O	O	O	O	O	O
R15-c	Tr-Ep marble	X		O				O	A	A	O	O	O	O	O
R-44	Tr marble	X		O				A		A	O	O	O	O	O
R21-b	Phl marble	X		O				O	O			O	O	O	O
R88-28	Ol-bearing marble	X						O	O	A		A	O	O	O
R88-30	Ol-bearing marble	X						O	O	A		A	O	O	O
R88-5	Ol-bearing marble	X						O	O	A		A	O	O	O
R88-21	Ol-bearing marble	X						O?	O	O		A	O	O	O

(شکل‌های a-۴ و b). تیتانیت در اطراف ایلمنیت در برخی نمونه‌ها در شرایط دگرگونی پس‌رونده تشکیل شده است.

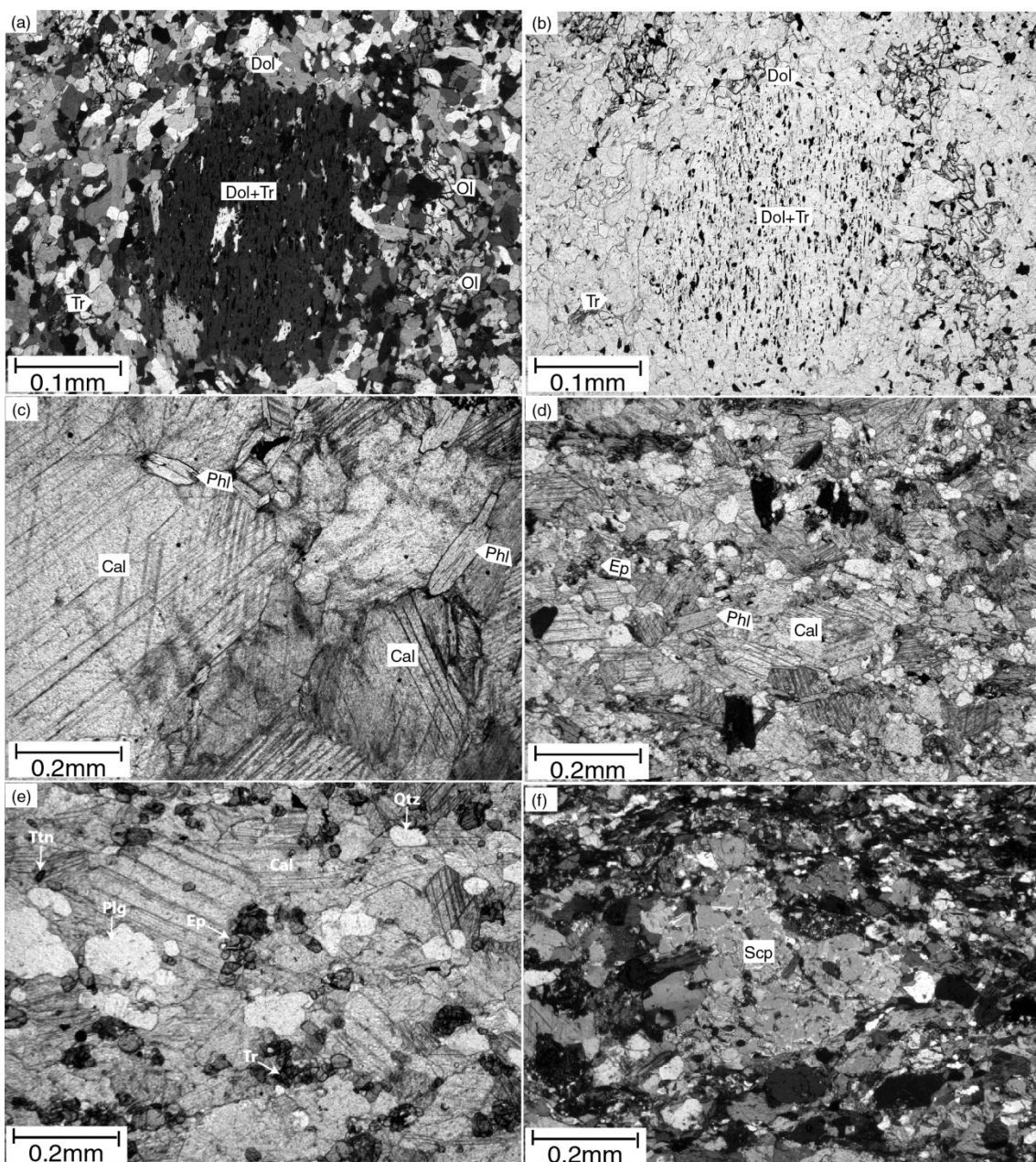
(ب) فلوگوپیت- اپیدوت ( $\pm$ ) ترمولیت مرمر: برونزد این سنگ‌ها در شمال غرب روستای بگلوکندی مشاهده می‌شود (شکل ۲). کلسیت و دولومیت در این سنگ‌ها بیشتر از ۹۰٪ حجمی سنگ‌ها را تشکیل می‌دهد. کلسیت/دولومیت داری کلیواژهای رومبوهدریک مشخص بوده و اندازه آن تا ۰/۸ میلی‌متر می‌رسد (شکل ۴d). فلوگوپیت تا ۰/۷ میلی‌متر و با چند رنگی قهوه‌ای کم‌رنگ در حدود ۵-۸ درصد حجمی سنگ را تشکیل داده است. بیوتیت با چند رنگی شدید و مسکوویت بی‌رنگ در برخی از نمونه‌ها حضور دارند. مسکوویت بی‌رنگ در این سنگ‌ها حاصل دگرسانی بیوتیت است. آمفیبول سبز-آبی (پارگازیت) در مقادیر جزئی در برخی از سنگ‌ها تشکیل شده است. کانی‌های فلوگوپیت، بیوتیت و کمتر پارگازیت به موازات شیستوزیته

انواع مرمرها بر اساس مجموعه کانی‌های دگرگونی عبارتند از:

(الف) مرمرهای دولومیتی الیوین‌دار: مرمرهای دولومیتی الیوین‌دار در جنوب شرق روستای قوزلو به همراه سنگ‌های گرانولیتی کالک‌سیلیکات، گرانولیت‌های مافیک و سنگ‌های متاولترامافیکی مشاهده می‌شود (شکل ۱). بافت شاخص در این سنگ‌ها پورفیروگرانوبلاستیک است (شکل ۴a-b). دولومیت بیشتر از ۷۵٪ حجمی این سنگ‌ها را تشکیل داده است. کانی‌های الیوین (تا ۱۵٪ حجمی سنگ)، کلسیت و پلازیوکلاز در مقادیر فرعی در این سنگ‌ها حضور دارند. مجموعه کانی‌های دگرگونی اوج (pick metamorphic) در مرمرهای دولومیتی الیوین‌دار در طی دگرگونی پس‌رونده به شدت توسط مجموعه کانی‌های دما پایین ترمولیت ثانویه+دولومیت جایگزین شده است. بقایای الیوین به صورت دانه‌های کوچک و بی‌شکل در داخل بافت سودومورف مشخص است

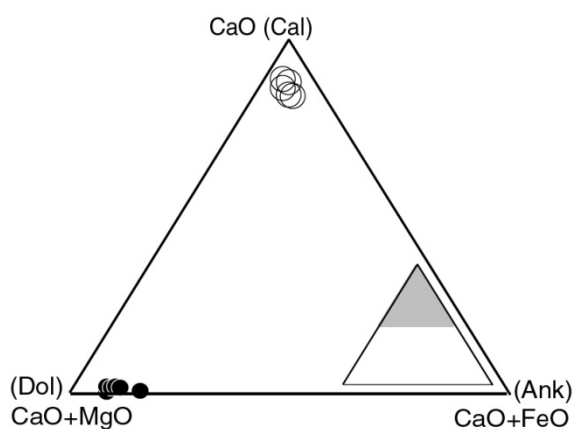
معمول‌ترین بافت‌ها در این سنگ‌ها هستند. در برخی از نمونه‌ها بافت triple junction با زاویه  $120^\circ$  درجه باندازه دانه‌ها تا  $2/5$  میلی‌متر تشکیل شده است.

جهت‌یابی شده‌اند. اپیدوت، پلاژیوکلاز و کوارتز در مقادیر فرعی (کمتر از  $1/5\%$ ) حضور دارد (شکل ۴). ترمولیت در پاراژنر برخی از سنگ‌ها مشاهده می‌شود. بافت گرانوبلاستیک و گرانوبلاستیک هم‌بعد



شکل ۴- a) جانشینی الیوین توسط مجموعه کانی‌های ترمولیت ثانویه و دولومیت. دولومیت همچنین، در بافت گرانوبلاستیک زمینه سنگ مشاهده می‌شود. حالت PPL، b) همان در حالت XPL، c) فلوگوپیت در مرمر. کلسیت/دولومیت داری کلیواژ‌های رومبوهدریک مشخص بوده، اندازه آن تا  $0.8$  میلی‌متر می‌رسد. حالت PPL، d) اپیدوت و تیتانیت در مرمر، حالت XPL، e) تیتانیت اپیدوت در مرمر با بافت گرانوبلاستیک، حالت PPL، f) اسکاپولیت در گرانولیت کالکسیلیکات، حالت XPL.

وزنی) است. مقادیر آهن در ترکیب دولومیت‌ها کم است. شکل ۵ ترکیب شیمی کانی‌های دولومیت تجزیه شده در نمودار Ca-Fe-Mg را نشان می‌دهد.



شکل ۵- ترکیب شیمی کانی‌های کلسیت (دایره تو خالی) و دولومیت (دایره تو پر) در مرمرهای دولومیتی.

#### کلسیت:

فرمول کلسیت بر اساس ۲ کاتیون و ۱ اکسیژن محاسبه شده است (جدول ۲). شکل ۵ ترکیب شیمی کانی‌های کلسیت تجزیه شده در نمودار Ca-Fe-Mg را نشان می‌دهد. کانی‌های کلسیت تجزیه شده دارای مقادیری Mn و Fe ( $65\text{wt\%}$ ) است. Mg در مقادیر بسیار جزئی در حدود  $2\text{wt\%}$  است.

#### الیوین:

الیوین به صورت کانی‌های دانه ریز و بی‌شکل، باقی مانده از مرحله دگرگونی اوج در مرمرهای دولومیتی است. فرمول ساختمانی الیوین بر اساس ۳ کاتیون و ۴ اکسیژن محاسبه شده است. ترکیب نمونه‌های تجزیه شده به صورت نسبتاً یکنواخت  $\text{Mg}_{1.61-1.68}\text{Fe}_{0.37-0.38}$  است. ترکیب الیوین در نمودار شکل ۶ در نزدیکی راس  $\text{Mg} = [\text{Mg}/(\text{Mg}+\text{Fe})]$  واقع می‌شود. عدد منیزیوم در الیوین‌های تجزیه شده بالاست ( $0.81-0.82$ ).

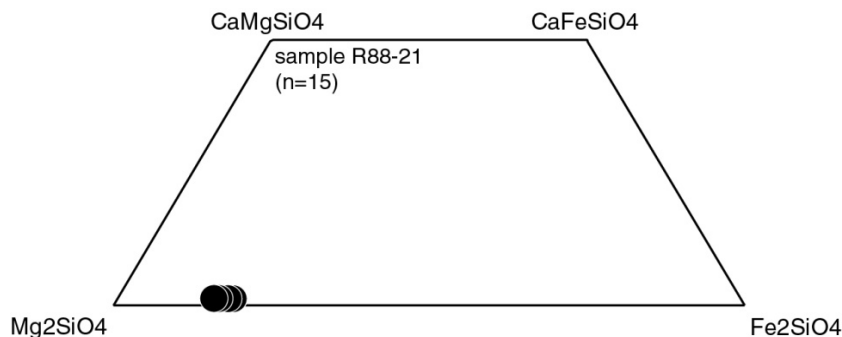
(پ) ترمولیت ( $\pm$ ) اپیدوت مرمر: برونزد این سنگ‌ها در جنوب روسیه بنفسه دره سی مشاهده می‌شود (شکل ۲). کلسیت/دولومیت بیشتر از  $89\%$  حجمی این سنگ‌ها را تشکیل می‌دهد. ترمولیت ( $5-9\%$ ) و پلازیوکلаз ( $4-8\%$ ) از دیگر کانی‌های مهم در پاراژنر سنگ هستند. در برخی از نمونه‌ها اپیدوت در اندازه  $0.3\text{ mm}$  می‌تر تا  $5\%$  حجمی سنگ را تشکیل می‌دهد. تیتانیت و کوارتز در مقادیر فرعی هستند (شکل ۴). اندازه کانی‌های کلسیت/دولومیت تا  $1/5\text{ mm}$  می‌تر می‌رسد. آمفیبول با چند رنگی سبز در برخی از نمونه‌ها حضور دارد. زوئیزیت در اندازه  $0.2\text{ mm}$  می‌تر در نمونه RA15-c مشاهده می‌شود. بیوتیت ثانویه حاصل دگرسانی هورنبلند است. بافت گرانوبلاستیک دانه ریز تا دانه متوسط بافت اصلی این سنگ‌ها را تشکیل می‌دهد. مجموعه کانی‌های زوئیزیت و هورنبلند هم‌بیست با کوارتز در برخی از نمونه‌ها احتمالاً حاصل تجزیه پیروکسن هستند.

#### شیمی کانی‌ها

در این قسمت شیمی کانی‌های اوج دگرگونی در مرمرهای دولومیتی الیوین دار بررسی می‌شود. هدف از مطالعه شیمی کانی‌های دگرگونی، تعیین ترکیب شیمی کانی‌ها در مرمرهای الیوین دار و بررسی شرایط تشکیل این سنگ‌ها در منطقه مورد مطالعه است.

#### دولومیت:

دولومیت اصلی ترین فاز کربنات در مرمرهای دولومیتی الیوین دار منطقه مورد مطالعه است. فرمول دولومیت بر اساس دو کاتیون و یک اتم اکسیژن محاسبه شده است (جدول ۲). ترکیب محاسبه شده دولومیت به صورت  $\text{Ca}(\text{Mg}_{0.84-0.92}\text{Fe}_{0.08-0.16})\text{CO}_3$  است. مقدار Mn در دولومیت کم ( $0.29-0.19$ ) درصد



شکل ۶- ترکیب شیمی کانی های الیوین در مرمرهای دولومیتی

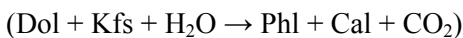
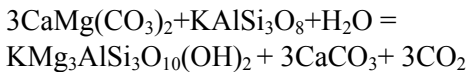
جدول ۲- مینرال شیمی کانی های کلسیت و دولومیت در مرمرهای تکاب

Mineral Type	Dol-1	Dol-2	Dol-3	Dol-4	Dol-5	Dol-6	Dol-7	Dol-8	Cal-1	Cal-2	Cal-3
$\text{SiO}_2$	0.00	0.00	0.00	0.00	0.00	0.00	0.00	0.00	0.08	0.09	0.08
$\text{TiO}_2$	0.00	0.00	0.02	0.01	0.01	0.01	0.00	0.01	0.00	0.00	0.00
$\text{Al}_2\text{O}_3$	0.00	0.00	0.00	0.00	0.00	0.00	0.00	0.00	0.02	0.00	0.00
$\text{Cr}_2\text{O}_3$	0.00	0.00	0.01	0.01	0.00	0.00	0.00	0.00	0.00	0.00	0.00
$\text{FeO}$	2.03	2.38	2.73	2.52	5.81	2.83	2.20	1.90	0.64	0.60	0.70
$\text{MnO}$	0.20	0.18	0.19	0.19	0.22	0.20	0.24	0.29	0.43	0.45	0.40
$\text{MgO}$	21.05	20.86	20.48	20.76	18.00	20.36	20.52	20.80	0.02	0.02	0.30
$\text{CaO}$	31.43	32.30	32.40	32.29	30.09	31.70	31.85	32.03	8.20	58.17	57.95
$\text{Na}_2\text{O}$	0.00	0.00	0.02	0.03	0.00	0.02	0.00	0.01	0.03	0.00	0.00
$\text{K}_2\text{O}$	0.02	0.01	0.01	0.01	0.00	0.01	0.00	0.01	0.00	0.00	0.00
<b>Total</b>	55.73	55.85	55.81	54.13	55.14	54.80	55.04	54.74	59.60	59.57	59.43
$\text{Si}$	0.00	0.00	0.00	0.00	0.00	0.00	0.00	0.00	0.00	0.00	0.00
$\text{Ti}$	0.00	0.00	0.00	0.00	0.00	0.00	0.00	0.00	0.00	0.00	0.00
$\text{Al}$	0.00	0.00	0.00	0.00	0.00	0.00	0.00	0.00	0.00	0.00	0.00
$\text{Cr}$	0.00	0.00	0.00	0.00	0.00	0.00	0.00	0.00	0.00	0.00	0.00
$\text{Fe}^{2+}$	0.06	0.07	0.06	0.15	0.07	0.06	0.00	0.00	0.02	0.02	0.04
$\text{Mn}$	0.01	0.01	0.01	0.01	0.01	0.01	0.01	0.01	0.02	0.02	0.02
$\text{Mg}$	0.92	0.90	0.91	0.84	0.91	0.92	0.92	0.94	0.02	0.02	0.02
$\text{Ca}$	1.02	1.03	1.02	1.01	1.02	1.02	1.02	1.02	1.94	1.94	1.92
$\text{Na}$	0.00	0.00	0.00	0.00	0.00	0.00	0.00	0.00	0.00	0.00	0.00
$\text{K}$	0.00	0.00	0.00	0.00	0.00	0.00	0.00	0.00	0.00	0.00	0.00
<b>Total</b>	2.00	2.00	2.00	2.00	2.00	2.00	2.00	2.00	2.00	2.00	2.00

جدول ۳- ترکیب شیمی الیوین در مرمرهای دولومیتی تکاب

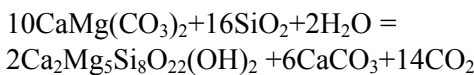
Sample No.	Ol-1	Ol-2	Ol-3	Ol-4	Ol-5	Ol-6	Ol-7	Ol-8	Ol-9	Ol-10	Ol-11	Ol-12	Ol-13	Ol-14
$\text{SiO}_2$	38.39	38.44	37.10	37.91	38.46	37.53	37.76	38.40	37.72	38.30	37.70	38.15	38.37	39.05
$\text{TiO}_2$	0.01	0.00	0.02	0.00	0.00	0.00	0.01	0.00	0.01	0.00	0.00	0.01	0.01	0.01
$\text{Al}_2\text{O}_3$	0.00	0.00	0.00	0.00	0.00	0.00	0.00	0.00	0.00	0.00	0.00	0.00	0.00	0.00
$\text{Cr}_2\text{O}_3$	0.02	0.00	0.01	0.00	0.00	0.00	0.00	0.01	0.00	0.01	0.00	0.00	0.01	0.01
$\text{FeO}$	17.55	17.28	17.15	17.29	17.21	17.10	17.06	17.25	17.26	17.09	17.10	17.62	17.39	17.52
$\text{MnO}$	0.37	0.35	0.37	0.35	0.35	0.35	0.36	0.36	0.37	0.39	0.36	0.37	0.37	0.35
$\text{MgO}$	42.62	43.13	43.02	42.96	43.21	42.93	43.05	42.78	42.89	43.15	43.16	42.52	42.29	42.43
$\text{CaO}$	0.01	0.06	0.01	0.00	0.01	0.01	0.00	0.00	0.01	0.01	0.00	0.00	0.01	0.00
$\text{Na}_2\text{O}$	0.02	0.01	0.00	0.00	0.01	0.01	0.00	0.01	0.00	0.02	0.01	0.01	0.00	0.00
$\text{K}_2\text{O}$	0.00	0.00	0.00	0.00	0.00	0.00	0.00	0.00	0.01	0.02	0.01	0.01	0.02	0.00
<b>Total</b>	98.97	99.28	97.68	98.50	99.24	97.92	98.24	98.81	98.26	98.98	98.33	98.68	98.47	99.39
<b>Formula</b>	4 (O)													
Si	0.99	0.97	0.98	0.99	0.98	0.98	0.99	0.98	0.98	0.98	0.99	0.99	1.00	0.99
Ti	0.00	0.00	0.00	0.00	0.00	0.00	0.00	0.00	0.00	0.00	0.00	0.00	0.00	0.00
Al	0.00	0.00	0.00	0.00	0.00	0.00	0.00	0.00	0.00	0.00	0.00	0.00	0.00	0.00
Cr	0.00	0.00	0.00	0.00	0.00	0.00	0.00	0.00	0.00	0.00	0.00	0.00	0.00	0.00
$\text{Fe}^{++}$	0.37	0.37	0.37	0.37	0.37	0.37	0.37	0.37	0.37	0.37	0.38	0.38	0.37	0.38
Mn	0.01	0.01	0.01	0.01	0.01	0.01	0.01	0.01	0.01	0.01	0.01	0.01	0.01	0.01
Mg	1.65	1.68	1.66	1.65	1.67	1.66	1.64	1.66	1.65	1.68	1.64	1.63	1.62	1.64
Ca	0.00	0.00	0.00	0.00	0.00	0.00	0.00	0.00	0.00	0.00	0.00	0.00	0.00	0.00
Na	0.00	0.00	0.00	0.00	0.00	0.00	0.00	0.00	0.00	0.00	0.00	0.00	0.00	0.00
K	0.00	0.00	0.00	0.00	0.00	0.00	0.00	0.00	0.00	0.00	0.00	0.00	0.00	0.00
<b>Total</b>	3.01	3.03	3.02	3.01	3.02	3.02	3.01	3.02	3.02	3.02	3.01	3.01	3.00	3.01

واکنشی که پتاسیم فلدسپار را مصرف می‌کند و فلوگوپیت (بیوتیت) را جایگزین آن می‌کند، عبارت است از:



پتاسیم مورد نیاز همچنین، می‌تواند از سیال گرمابی به شکل کمپلکس مناسب نیز تامین شود. با افزایش بیشتر دما، ترمولیت نیز به صورت همزیست با فلوگوپیت در مرمرهای دولومیتی مورد مطالعه ظاهر شده است. مجموعه کانی‌های دگرگونی در این سنگ‌ها به صورت Dol+Cal+Tr+Phl است.

واکنش تشکیل ترمولیت پیش‌رونده عبارت است از:



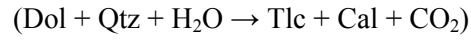
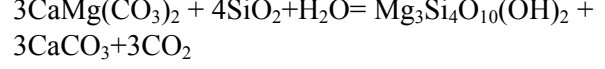
مرمرهای ترمولیت‌دار مشخصه رخساره آمفیبولیت تحتانی تا میانی هستند (Bucher and Frey, 1994). فلوگوپیت در سنگ‌های حاوی Dol و Cal اضافی تا درجات بسیار بالا پایدار باقی می‌ماند (Bucher and Frey, 1994).

حضور جزئی ناخالصی‌های سدیم در مرمرهای دولومیتی تکاب، روابط فازی مرمرهای دولومیتی آلومینیوم‌دار را پیچیده کرده است. با افزایش دما، ترمولیت ناپایدار شده و آمفیبول پارگازیتی در این سنگ‌ها ظاهر شده است. واکنش تبادلی ترمولیت-پارگازیت به صورت  $\square\text{Mg}_2\text{Si}=\text{Na}_3\text{Al}$ ، (□ سایت خالی) است. واکنش تبادلی فوق در دماهای بالا باعث تشکیل آمفیبول‌های پارگازیتی در مجموعه کانی‌های دگرگونی مرمرهای دولومیتی تکاب شده است. در نتیجه، حد فوقانی دمای پایداری آمفیبول در مرمرهای دولومیتی

## بررسی فرایندهای دگرگونی پیش‌رونده در مرمرهای دولومیتی تکاب

مرمرهای حاوی دولومیت شاخص‌های مفیدی برای درجه دگرگونی هستند، زیرا در آن‌ها مجموعه‌ای از سیلیکات‌های کلسیم-منیزیوم، مانند: ترمولیت، کلینوپیروکسن و الیوین در شرایط فشار و حرارت معمول در دگرگونی تشکیل می‌شود. مرمرهای ناخالص، علاوه بر کانی‌های کربنات، کوارتز و سیلیکات‌های کلسیم-منیزیوم می‌توانند دارای فازهایی نظیر میکا، فلدسپار، گارنت و غیره باشند. تالک در مقادیر کم، کانی شاخص مرمرهای غنی از کوارتز در شرایط دگرگونی رخساره شیست سبز است (Dol+Cal+Qtz+Tlc).

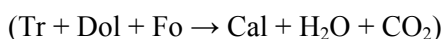
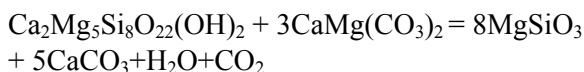
واکنش تشکیل تالک در مرمرهای درجه دگرگونی پایین به این صورت است:



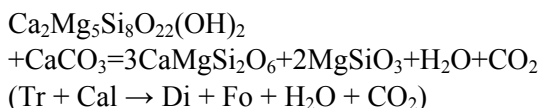
دولومیت‌های رسوبی که ناخالصی پتاسیم به صورت پتاسیم فلدسپار در جازا (autogenic) دارند، تالک در درجه دگرگونی‌های پایین این سنگ‌ها تشکیل نخواهد شد (Bucher and Frey, 1994).

مجموعه کانی‌ها در مرمرهای دولومیتی درجه پایین کمپلکس دگرگونی تکاب که دارای پتاسیم فلدسپار در سنگ اولیه دولومیت‌های رسوبی است، به صورت Dol+Cal+Qtz+Kfs است.

فلدسپار پتاسیم اولین کانی‌ای است که در طی دگرگونی پیش‌رونده از مجموعه کانی‌شناسی مرمرها حذف شده و فلوگوپیت ظاهر شده است. مجموعه کانی‌های دگرگونی در مرمرهای منطقه تکاب با افزایش درجه دگرگونی به صورت Dol+Cal+Qtz+Phl است.



واکنش احتمالی ظهرور فورستریت همزیست با دیوپسید در دماهای بالاتر به این صورت است:



جدول ۴ مجموعه کانی‌های دگرگونی و واکنش‌های دگرگونی پیش‌روندۀ در مرمرهای دولومیتی کمپلکس دگرگونی تکاب را نشان می‌دهد.

تکاب در مقایسه با سیستم‌های ساده CMS-HC در مرمرهای خالص به دماهای بالاتری انتقال یافته است. فورستریت در سنگ‌های دولومیتی فقیر از سیلیس ظاهر می‌شود در حالیکه دیوپسید در سنگ‌های نسبتاً سیلیسی و یا سنگ‌های فقیر از دولومیت ظاهر می‌شود. تحت شرایط رخساره گرانولیت (دما بیش از  $800^{\circ}\text{C}$  و فشار ۸ kbar یا دما بیش از  $700^{\circ}\text{C}$  و فشار ۵ kbar) فورستریت در دولومیت مرمرها ظاهر می‌شود. واکنش ظهرور فورستریت در مرمرهای دولومیتی به صورت زیر است:

جدول ۴- مجموعه کانی‌ها و واکنش‌های دگرگونی پیش‌روندۀ در سنگ‌های آهکی دگرگون شده تکاب

نام سنگ	مجموعه کانی‌ها	واکنش‌های دگرگونی پیش‌روندۀ
ترمولیت-(±)اپیدوت مرمر	Dol/Cal+Qtz+Tr±Pl	Dol+Qtz+H <sub>2</sub> O=Tr+Cal+CO <sub>2</sub>
فلوگوپیت-اپیدوت-(±)ترمولیت مرمر	Phl+Ep±Tr+Dol/Cal	Dol+Kfs+H <sub>2</sub> O=Phl+Cal+CO <sub>2</sub>
مرمرهای الیوین دار	Ol+Dol+Tr±Ts+Cchl+Qtz±Pl	Tr+Dol=Fo+Cal+H <sub>2</sub> O+CO <sub>2</sub> Tr+Cal=Di+Fo+H <sub>2</sub> O+CO <sub>2</sub>

بالا در رخساره گرانولیت ( $< 800^{\circ}\text{C}$ ) نسبت داده شده است (Moecher and Essene, 1990).

بر اساس ظهرور الیوین در زمینه گرانوبلاستیک مرمرهای دولومیتی فقیر از سیلیس، دما بیش از  $800^{\circ}\text{C}$  در فشار ۸ کیلوبار (Bucher and Frey, 1994) برای تشکیل مرمرهای دولومیتی الیوین دار تکاب پیشنهاد می‌شود.

در دماهای کمتر از  $800^{\circ}\text{C}$  فورستریت تن‌ها از طریق واکنش مرمر با یک فاز سیال غنی از آب با منشاء خارجی تشکیل می‌شود (Bucher and Frey, 1994) که در این حالت فورستریت در شکستگی‌ها یا مناطق برشی و به صورت رگه‌ای تشکیل می‌شود. فورستریت در مرمرهای دولومیتی مورد مطالعه در تعادل بافتی با کانی‌های دولومیت در زمینه گرانوبلاستیک بوده و پر کننده شکستگی‌ها نبوده و یا در ارتباط با مناطق برشی تشکیل نشده است.

## دماسنجدی و فشار سنجی مرمرهای دولومیتی الیوین دار

محاسبه شرایط P-T دگرگونی پیش‌روندۀ بر اساس ژئوتربومبارومترهای معمول به علت فقدان مجموعه کانی‌های مناسب در مرمرها بسیار مشکل است. مطمئن‌ترین راه تخمین فشار و حرارت دگرگونی پیش‌روندۀ در مرمرها، آن است که تاریخچه تحولی کلی ناحیه مورد مطالعه به تفصیل بررسی و مقایسه شود (برای مثال مقایسه با تحولات دگرگونی کالک‌سیلیکات‌ها، متابازیت‌ها و ...).

سنگ‌های اسکاپولیت-کلینوپیروکسن-گارنت کالک‌سیلیکات در کمپلکس دگرگونی تکاب در دماهای حدود  $790^{\circ}\text{C}$  و فشار حدود ۹-۸ کیلوبار در رخساره گرانولیت دگرگون شده‌اند (Moazzen et al., 2009). تشکیل اسکاپولیت در سنگ‌های دگرگونی به دماهای

- پیروکسن) و (c) سیمپلکتیت اسپینل و آمفیبول در اطراف پورفیروبلاست‌های گارنت.
- در گرانولیت‌های کالکسیلیکات کانی‌های اسکاپولیت، گارنت و کلینوپیروکسن بقایای کانی‌های اوج دگرگونی هستند.
  - شرایط دما و فشار مرحله اوج دگرگونی در مرمرهای دولومیتی الیوین دار تکاب  $T \geq 800^{\circ}\text{C}$  در فشار ۸ کیلوبار تعیین شده است که با شرایط دما و فشار به دست آمده برای تشکیل گرانولیت‌های کالکسیلیکات در کمپلکس دگرگونی تکاب در دمای ۷۹۰ درجه سانتی گراد و فشار حدود ۸–۹ کیلو بار (Moazzen *et al.*, 2009) مطابقت دارد.
  - مرمرهای دولومیتی تکاب تحت شرایط دگرگونی پس‌رونده و در طی بالا آمدگی سنگ‌ها به ترمولیت  $(\pm)$  کلینوکلر مرمر دگرگون شده‌اند.

### سپاسگزاری

از دکتر Giles Droop در دانشگاه منچستر انگلستان به خاطر تجزیه میکروبوب کانی‌ها و دکتر محسن مؤذن در دانشگاه تبریز، به خاطر راهنمایی‌های آنان و از داوران محترم مجله بلورشناسی و کانی‌شناسی ایران، به خاطر ارائه نظرهای ارزنده برای ارتقای سطح علمی مقاله، صمیمانه سپاسگزاری و قدردانی می‌شود.

بنابراین، دما و فشار تخمین زده شده برای مرمرهای الیوین دار مورد مطالعه ( $P=8 \text{ kbar}, T \geq 800^{\circ}\text{C}$ ) با دماهای به دست آمده برای گرانولیت‌های کالکسیلیکات کمپلکس تکاب  $T \sim 790 \text{ kbar}$  در فشار  $P=8-9$  (Moazzen *et al.*, 2009) مطابقت دارد.

### نتیجه‌گیری

- رخساره گرانولیت، بالاترین درجه دگرگونی در کمپلکس تکاب است که باعث تشکیل گرانولیت‌های متابازیک، گرانولیت‌های کالکسیلیکات و مرمرهای الیوین دار شده است. سنگ‌های متابازیک در درجه دگرگونی‌های بالا ذوب شده و میگماتیت‌های مافیک و توده‌های گرانیت‌وئیدی با منشأ ذوب‌بخشی در این ارتباط تشکیل شده‌اند (Hajialioghli *et al.*, 2011).
- دگرگونی پس‌رونده در طی بالا آمدگی سنگ‌های پوسته‌ای اتفاق افتاده است. بررسی بافت‌های واکنشی و مجموعه کانی‌های دگرگونی، مرحله انتقال از رخساره گرانولیت به رخساره آمفیبولیت را نشان می‌دهد. برخی از شواهد بافتی و کانی‌شناسی دگرگونی پس‌رونده در گرانولیت‌های متابازیک منطقه مورد مطالعه عبارتند از: (a) حضور روتیل به صورت اینکلوزن در گارنت؛ (b) سیمپلکتیت هورنبلنده‌پلازیوکلاز در اطراف گارنت حاصل از شکست پورفیروبلاست‌های پیشین (کانی‌های

### منابع

- باباخانی، ع. و قلمقاش، ج. (۱۳۷۱) نقشه زمین‌شناسی ۱/۱۰۰۰۰۰ تخت سلیمان. سازمان زمین‌شناسی ایران.
- حمدی، ب. (۱۳۷۴) رسوبات پرکامبرین-کامبرین در ایران. در: ع. هوشمندزاده (مؤلف) زمین‌شناسی ایران. سازمان زمین‌شناسی ایران.
- نبوی، م. ح. (۱۳۵۵) مقدمه‌ای بر زمین‌شناسی ایران. سازمان زمین‌شناسی ایران.
- Alavi, M. (2004) Regional stratigraphy of the Zagros Fold-Thrust belt of Iran and its proforelenad evolution. American Journal of Science 304: 1–20.
- Brewer, T. S., Storey, C. D., Parrish, R. R., Temperley, S. and Windley, B. F. (2003) Grenvillian age exhumation of eclogites in the Glenelg-Attadale Inlier, NW Scotland. Journal of Geological Society of London 160: 565–574.

- Bucher K. and Frey M. (1994) Petrogenesis of metamorphic rocks. 6th edition. Springer-Verlag, Berlin.
- Gilg, H. A., Boni, M., Balassone, G., Allen, C. R., Banks, D. and Moore, F. (2006) Marble-hosted sulfide ores in the Angouran Zn-(Pb-Ag) deposit, NW Iran: interaction of sedimentary brines with a metamorphic core complex. *Mineral Deposita* 41: 1–16.
- Guo, J. H., O'Brien, P. J. and Zhai, M. G. (2002) High pressure granulites in the Sanggan area, North China craton: metamorphic evolution, P-T paths and geotectonic significance. *Jurnal of Metamorphic Geology* 20: 741–756.
- Hajialioghli, R., Moazzen, M., Droop, G. T. R., Oberhansli, R., Bousquet, R., Jahangiri, A. and Ziermann, M. (2007) Serpentine polymorphs and P-T evolution of meta-peridotites and serpentinites in the Takab area, NW Iran. *Mineralogical Magazine* 71: 155–174.
- Hajialioghli, R., Moazzen, M., Jahangiri, A., Oberhansli, R., Mocek, B. and Altenberger, U. (2011) Petrogenesis and tectonic evolution of metaluminous sub-alkaline granitoids from the Takab Complex, NW Iran. *Geological Magazine* 148 (2): 250–268.
- Kretz, R. (1983) Symbols for rock-forming minerals. *American Mineralogist* 68: 277–279.
- Moazzen, M. and Hajialioghli, R. (2008) Zircon SHRIMP dating of mafic migmatites from NW Iran, Reporting the oldest rocks from the Iranian crust. 5th Annual Meeting AOGS, Busan, Korea SE62.
- Moazzen, M. Oberhansli, R. Hajialioghli, R. Moller, A. Bousquet, R. Droop, G. and Jahangiri, A. (2009) Peak and post-peak P-T conditions and fluid composition for scapolite-clinopyroxene-garnet calc-silicate rocks from the Takab area, NW Iran. *European Journal of Mineralogy* 21: 149 – 162.
- Moecher, D. P. and Essene, E. J. (1990) Phase equilibria for calcic scapolite, and implications of variable Al-Si disorder for P-T, T-XCO<sub>2</sub> and a-X relations. *Journal of Petrology* 31: 997–1024.
- Nakano, N., Osanai, Y., Owada, M., Nam, T. N., Tsunogae, T., Toyoshima, T. and Binh, P. (2004) Decompression process of mafic granulite from eclogite to granulite facies under ultrahigh-temperature condition in the Kontum massif, central Vietnam. *Journal of Mineralogical and Petrological Science* 99: 242–256.
- O'Brien, P. J. and Rotzler, J. (2003) High-pressure granulites: Formation, Recovery of peak conditions, and implications for tectonics. *Journal of Metamorphic Geology* 21: 65–80.
- O'Brien, P. J., Walte N. and Li, J. H. (2005) The petrology of two distinct Paleoproterozoic granulite types in the Hengshan Mts., North China craton, and tectonic implications. *Journal of Asian Earth Science* 24: 615–627.
- Yardley, B. W. D. (1989) Introduction to Metamorphic Petrology. Harlow, Longman Group UK.
- Zhang, K. J. (1999) North and South China collision along the eastern and southern north China margins reply. *Tectonophysics* 312.

## Granulite facies metamorphism of the olivine bearing dolomitic marbles in Takab area, NW Iran

Robab Hajialioghli \*

Department of Geology, Faculty of Natural Science, University of Tabriz, Tabriz, Iran

### Abstract

The Takab metamorphic complex in the NW of Iran, is located between longitude 47°45' and 47°05' E and latitude 37°30' and 36°30' N. The Takab complex, with Neoproterozoic- Cambrian age, displays tectonic, lithological, stratigraphic and geochronological feathres (relative and isotopic dating) similar to those of the Central Iran Zone. Therefore, it is considered as a part of the Central Iran Zone with similar age (i.e. Neoproterozoic-Cambrian). The types of metamorphic rocks in the complex are gneiss, calc-silicate granulites, mafic granulites, migmatite, amphibolite, dolomitic marbles, pelitic schists, basic schists and serpentinized metaperidotites. The olivine-bearing marbles are derived by dolomitic marbles metamorphosed under granulite facies. Based on the appearance of olivine in paragenesis of the dolomitic marbles, the pressure and temperature of pick metamorphism is estimated at  $T \geq 800$  °C and  $P \sim 8$  kbar. The evidence for retrogression of the Ol-bearing dolomitic marbles is the presence of tremolite + dolomite assemblages after olivine. The infiltration of H<sub>2</sub>O-enriched fluids during retrograde metamorphism led to the formation of H<sub>2</sub>O-bearing minerals such as tremolite, zoisite and clinochlore as well as titanite in paragenesis of the dolomitic marbles.

**Key words:** Dolomitic marbles, Olivine, Granulite facies, Takab metamorphic complex, NW Iran

\* hajialioghli@tarizu.ac.ir